

# نشریه مهندسی مکانیک امیرکبیر

نشریه مهندسی مکانیک امیرکبیر، دوره ۴۹، شماره ۱، سال ۱۳۹۶، صفحات ۱۰۱ تا ۱۱۲  
 DOI: 10.22060/mej.2016.720

## توسعه الگوی رتبه‌کاسته برای بازسازی داده‌های مفقودشده میدان‌های جریان ناپایا با استفاده از یک روند تجزیه زمانی

محمد کاظم مؤیدی\*

آزمایشگاه پژوهشی دینامیک سیالات محاسباتی، گروه مهندسی مکانیک، دانشگاه قم، قم، ایران

تاریخچه داوری:
دریافت: ۲۴ خرداد ۱۳۹۴
پذیرش: ۲۱ شهریور ۱۳۹۴
پذیرش: ۱۲ دی ۱۳۹۴
ارائه آنلاین: ۱۸ آبان ۱۳۹۵

کلمات کلیدی:
داده‌های مفقودشده
روش تجزیه متعدد بهینه
مدل رتبه‌کاسته
جریان ناپایا

**چکیده:** در این پژوهش از روش تجزیه متعدد بهینه جهت بازسازی میدان جریان تراکم‌پذیر ناپایای لزج حول سیلندر با داده‌های مفقودشده یا تئک و محاسبه نیروهای وارد بر آن استفاده شده است. الگوی موردنظر ترکیبی از روش تجزیه متعدد بهینه محراه با حل یک مساله بهینه‌سازی بهمنظور دستیابی به مدلی رتبه‌کاسته است که می‌تواند با دقت مناسب و سرعت بالا، نقاط مفقودشده یا پایه‌های ناقص را بازسازی نماید. دو نوع کاربرد برای این روش در نظر گرفته شده، در نوع اول روش برای بازسازی یک پایه از دسته نمایه مورد نظر با بهره‌گیری از یک روش تکراری به کار گرفته شده است. نوع دوم، روشی است بر مبنای نوع اول و در این مقاله پیشنهاد شده است. در این روش با استفاده از تجزیه میدان جریان در راستای زمان و با بهره‌گیری از یک فرآیند پیش روی زمانی پایه‌های ناقص دسته نمایه مورد نظر بازسازی می‌شوند. ویژگی این روش بهره‌گیری از بهینه‌سازی و بازسازی گام به گام دسته نمایه اصلی بهمنظور کاهش تعداد مجهولات و دستیابی به الگویی با دقت بالاتر در بازیابی داده‌های مفقودشده می‌باشد. نتایج حاصل از هر دو مدل با داده‌های حاصل از شبیه‌سازی‌های عددی مستقیم مقایسه شده که دقت بالا و توانایی‌های مناسب هر دو روش را نشان می‌دهد.

### ۱- مقدمه

به طور کلی الگوهای تحلیل مسائل مکانیک سیالات شامل روش‌های آزمایشگاهی و محاسباتی بوده و ویژگی‌های هر کدام در مراجع مختلف آورده شده است [۱]. محدودیت‌های لبزارهای اندازه‌گیری در داده‌برداری نقاط مختلف میدان جریان و ولستگی الگوهای عددی به سخت‌افزارهای کامپیوتری بهمنظور افزایش تعداد گرههای محاسباتی، از مهمترین و قابل تأمل‌ترین ویژگی‌های آنها می‌باشد [۲]. توسعه روش‌هایی که بتوانند اطلاعات نقاط بیشتری از میدان جریان را چه از دیدگاه عدم دقت مناسب در داده‌برداری، عدم وجود داده‌های موردنظر (مربوط به روش‌های آزمایشگاهی) و کاهش تعداد محاسبات بهمنظور کاهش هزینه و زمان (مربوط به روش‌های محاسباتی) تخمین زده و محاسبه کنند، می‌تواند به عنوان یک راهکار مناسب مدنظر قرار گیرد. در این خصوص الگوهای متفاوتی مطرح بوده که از آن جمله می‌توان از الگوهای ساده میان‌بابی خطی و غیرخطی یکبعدی، الگوهای میان‌بابی چندبعدی (مکانی)، روش‌های میان‌بابی وزنی مانند روش کریجینگ [۳] که بر مبنای یک عامل متحرک وزن دار مقادیر موردنظر در نقاط مختلف میدان را میان‌بابی می‌کند، نام برد. در این میان استفاده از روش تجزیه متعدد بهینه که توانایی استخراج ساختارهای پرانرژی میدان را داشته و در نتیجه می‌تواند حجم محاسبات را با حفظ کیفیت و دقت آن کاهش دهد، می‌تواند به عنوان یک الگوی کارآ بسیار مناسب باشد. روش تجزیه متعدد بهینه کاربردهای گسترده‌ای شامل توسعه مدل‌های رتبه‌کاسته،

پردازش تصاویر و بازسازی داده‌ها و ساختارها دارد. این روش با محاسبه یک مجموعه از بردارهای پایه که می‌تواند ساختارهای پرانرژی سیستم را تفسیر کنند، آغاز شده و در صورت انتقال معادلات حاکم به فضای برداری تشکیل شده از این بردارهای پایه، می‌توان دینامیک حاکم بر میدان را با تعداد ابعاد کمتری و با دقتی مناسب بازسازی نمود.

تاریخچه‌ای بر روش تجزیه متعدد بهینه و تشریح روش‌های انجام آن را می‌توان به طور کامل در مقاله تفصیلی اسمیت پیدا کرد [۴]. این روش ابتدا توسط کارهونن - لوو به عنوان روشی جهت تحلیل داده‌های آماری مطرح شد [۴]. لاملی پیشنهاد کرد که از روش تجزیه متعدد بهینه می‌توان برای استخراج ساختارهای بزرگ مقیاس<sup>۱</sup> ظاهر شده در جریان‌های آشفته استفاده کرد [۵]. پس از آن با توجه به محدودیت‌های کامپیوترها و روش‌های محاسباتی این روش برای مدت‌ها بدون کاربرد باقی ماند. لیکن در اوخر دهه هشتاد میلادی به تدریج کاربردهای روش تجزیه متعدد بهینه افزونی یافت. به ویژه با مطرح شدن روش نمایه توسط سیروپیش، این روش به عنوان ابزاری کارآمد برای ایجاد مدل‌های رتبه‌کاسته از سامانه‌های دینامیکی پیچیده‌ای که داده‌هایی از تجربه و یا حل‌های عددی مستقیم دارند، مورد توجه قرار گرفت [۶]. از آن جمله می‌توان به پژوهش طبیعی و همکاران اشاره کرد که از این روش بهمنظور تحلیل میدان جریان تراکم‌پذیر و محاسبه ضرایب آبرودینامیکی استفاده کردند [۷]. استفاده از روش تجزیه متعدد بهینه بهمنظور بازسازی ساختارهای ازدست‌رفته یا نمایه‌های مفقودشده با

بهینه مطرح می‌باشد. برای استفاده از روش تجزیه متعامد بهینه- نمایه نیاز به یک دسته آتایی از داده‌های میدان اختشاشی<sup>۵</sup> می‌باشد. این نمایه‌ها می‌توانند از نتایج شبیه‌سازی در زمان‌های متفاوت به صورت زیر به دست آیند:

$$u_k(x) = u(x, t^k) \quad (3)$$

مودهای تجزیه متعامد بهینه، توابع ویژه ماتریس زیر می‌باشند:

$$K(x, x') = u_k(x, t), u^*(x', t^k) \quad (4)$$

معادله فوق به معادله انتگرالی فردھولم نوع دوم تبدیل شده و گسترش‌سازی آن منجر به مسئله مقدار ویژه زیر می‌شود:

$$K\beta = \Lambda\beta \quad (5)$$

در این پژوهش از روش تجزیه مقادیر تکین<sup>۶</sup> جهت حل مسئله مقدار ویژه فوق استفاده شده است. همان‌طور که اشاره شد مودهای تجزیه متعامد بهینه دارای خاصیت تعامد هستند، یعنی در رابطه زیر صدق می‌کنند:

$$(\varphi^i, \varphi^j) = \begin{cases} 1 & i = j \\ 0 & i \neq j \end{cases} \quad (6)$$

زمان‌های  $t^k$  (رابطه (۳)). اغلب با بازه‌های هم‌فاصله در نظر گرفته می‌شوند. از دیدگاه ریاضیات تنها شرط لازم برای نمایه‌ها این است که مستقل خطی باشند. حال با داشتن مودها، می‌توان میدان جریان را به صورت زیر بازسازی کرد:

$$u(\vec{x}, t) = \sum_{i=1}^M a^i(t) \varphi^i(\vec{x}) \quad (7)$$

### ۳- بازسازی داده‌های میدان جریان

در این بخش به تشریح چگونگی استفاده از روش تجزیه متعامد بهینه در بازسازی میدان جریان حول جسم پرداخته خواهد شد. در این خصوص روندهای گوناگونی به منظور تشریح و کاربرد فرم‌های مختلف این روش در مراجع آورده شده که در مرجع [۶] به تفصیل به آن پرداخته شده است. نتایج موجود نیز دقت و صحت این روش‌ها را اثبات می‌کند. در مرجع [۶] سه روش برای تخمین میدان جریان حول جسم با استفاده از روش تجزیه متعامد بهینه ارائه شده که عبارتند از:

- روش تجزیه متعامد بهینه همراه با میان‌یابی،
  - روش Gappy-POD برای بازسازی داده‌های مفقودشده و
  - روش تکراری Gappy-POD برای بازسازی نمایه‌های ناقص.
- در روش اول پس از محاسبه پایه‌ها و ضرایب مربوط به آنها، با استفاده از یک روش میان‌یابی، ضرایب برای مقادیری از ورودی‌های جریان که اطلاعاتی در خصوص آنها موجود نیست، محاسبه می‌شود. سپس با استفاده

بهره‌گیری از مودهای پرانرژی میدان در پژوهش دیگری توسط بوی تا انجام شد [۸]. ویلککس از این روش به منظور یافتن موقعیت سنسورهایی به منظور کنترل جریان سیال در پایین دست یک سیلندر (ناحیه دنباله) بهره برد [۹]. ثابت‌قدم و همکاران از روش تجزیه متعامد بهینه به منظور بازسازی نمایه‌های از دست‌رفته و نقاط مفقودشده میدان جریان ناپایا حول سیلندر مربعی شکل استفاده کردند [۱۰].

با توجه به توانایی روش تجزیه متعامد بهینه در استخراج مودهای پرانرژی، استفاده از آن در پدیده‌های شامل اثرات متقابل سازه و سیال و همچنین مسائل کنترل جریان پسیار مورد توجه می‌باشد. در این پژوهش، هدف استفاده از این روش جهت بازسازی داده‌های مفقودشده میدان‌های جریان ناپایا می‌باشد. در این مورد با تکیه بر روش تجزیه متعامد بهینه- نمایه، از یک روش کمینه‌سازی برای محاسبه ضرایب مجہول نقاط مفقودشده استفاده می‌شود.

### ۳- روش تجزیه متعامد بهینه - نمایه

لاملی تعریفی از ساختارهای متجانس را به صورت توابعی از متغیرهای مکانی ارائه کرد که بیشینه انرژی میدان را دارا هستند. بدین ترتیب این ساختارهای متجانس عبارت زیر را بیشینه می‌کنند:

$$\frac{(u(x, t), \varphi(x))^2}{(\varphi(x), \varphi(x))} \quad (1)$$

عبارت  $(f, g)$ ، نمایشگر ضرب داخلی در فضای  $L^2$  که به صورت زیر تعریف می‌شود:

$$(f, g) = \int_{\Omega} f g d\Omega$$

همچنین  $\langle \cdot \rangle$ ، متوسطگیری دسته‌ای<sup>۷</sup> است که با فرض ارگادیک<sup>۸</sup> بودن جریان، به صورت زیر با متوسطگیری زمانی جایگزین می‌شود:

$$\langle \cdot \rangle = \lim_{T \rightarrow \infty} \frac{1}{T} \int_0^T dT \quad (2)$$

همچنین اگر  $\varphi(x)$  رابطه (۱) را بیشینه نماید، می‌توان نتیجه گرفت که اگر میدان جریان در راستای  $\varphi(x)$  تصویر شود، انرژی متوسط آن بیش از حالتی است که در راستای هر تابع پایه دیگری تصویر شود. مشابه با روند متعامدسازی گرام- اشمیت، در زیرفضایی که بر  $\varphi$  متعامد باشد، این فرآیند بیشینگی (رابطه (۱)) می‌تواند تکرار شود. در نتیجه یک سری توابع متعامد قابل محاسبه بوده که به آنها مودهای تجزیه متعامد بهینه گفته می‌شود. برای محاسبه این توابع ویژه (مودها) می‌توان از یک رابطه جداسازی زمانی استفاده کرد که ارتباطی مستقیم و نزدیک با روش نمایه سیرویش<sup>۹</sup> داشته و به عنوان روشی جهت محاسبه مودهای تجزیه متعامد

1 POD-Snapshot

2 Ensemble

3 Ergodic

4 Sirovich

$$(m^k, u^k) = m_j^k u_j^k \quad (9)$$

ضرب داخلی هم برای بردارهایی با داده‌های ناقص به صورت زیر بیان می‌شود:

$$(u, v)_m = ((m, u), (m, v)) \quad (10)$$

بردارهای  $\sum_{k=1}^n$  توابع ویژه تجزیه متعدد بهینه بوده که از ماتریس  $\sum_{k=1}^n u^k$  به دست آمده و تمامی بردارها در آن عناصری معلوم دارند. همچنین  $g$  به عنوان بردار جواب درنظر گرفته شده که برخی عناصر آن با توجه به مقدار بردار  $m_i^k$  مفقود شده‌اند. حال یک بردار  $\tilde{g}$  فرض کرده که مقادیر مفقودشده بردار جواب  $g$  را به صورت زیر بازیابی می‌کند:

$$\tilde{g} = \sum_{i=1}^p b^i \varphi^i \quad (11)$$

در رابطه فوق  $p$  تعداد مودهای استفاده شده برای مدل رتبه کاسته است که در بخش‌های بعدی در خصوص نحوه محاسبه آن توضیح داده خواهد شد. برای محاسبه ضرایب مودال  $\varphi^i$  بایستی مقدار خطای بین داده‌های اصلی و بردار اصلاح شده کمترین شود. این خطا با رابطه زیر تعریف می‌شود:

$$E = \|g - \tilde{g}\|^2 \quad (12)$$

مسئله کمینه‌سازی فوق منجر به یک دستگاه معادلات خطی به صورت زیر می‌شود:

$$Mb = f \quad (13)$$

به طوری که: که با حل آن بردار  $\tilde{g}$  محاسبه شده و پس از بازسازی بردار  $\tilde{g}$ ، با استفاده از رابطه (11)، مقادیر آن به صورت زیر جایگزین می‌شود:

$$g_j = \begin{cases} g_j & \text{if } m_j^k = 1 \\ \tilde{g}_j & \text{if } m_j^k = 0 \end{cases} \quad (14)$$

**۳-۱- روشن تکراری POD-Gappy با پیشروع زمانی**  
روشن تکراری Gappy-POD که در قسمت قبل توضیح داده شد، در شرایطی که تعداد ایستگاهها (نمایه‌های وابسته به زمان) با داده‌ای مفقودشده زیاد باشد، با مشکلاتی روبرو خواهد شد. روشنی که در این پژوهش پیشنهادشده تا حد زیادی می‌تواند این مشکل را برطرف کند. روند کار بدین صورت است که نمایه‌های ناقص موجود در دسته نمایه اصلی با بهره‌گیری از روش ارائه شده در بخش پیشین و با یک روند پیشروع زمانی بازسازی می‌شوند. اگر ماتریس نمایه‌ها به صورت زیر فرض شود:

$$\mathbf{u} = \{u_1, u_2, \dots, u_n\} \quad (15)$$

به طوری که آرایه‌های  $u_1, u_2, \dots, u_n$  نشان‌دهنده اضای دسته نمایه با اطلاعات کامل بوده،  $u_1, u_2, \dots, u_n$  به ترتیب نمایشگر نمایه‌هایی با درصد اطلاعات مفقودشده بیشتر و کمتر می‌باشند. سپس ماتریس‌های نمایه به صورت محلی

از رابطه (7)، میدان جریان با ضرایب محاسبه شده و پایه‌های موجود بازسازی می‌شود.

الگوی دوم بر مبنای روش نمایه سیرویش است که پیش‌تر برای بازسازی تصاویر صورت انسان استفاده شده است. در این الگو از روش تجزیه متعدد بهینه به منظور بازسازی داده‌های مفقودشده میدان جریان برای می‌شود. با تعریف یک بردار پوشانه<sup>۱</sup> به منظور جذاسازی میدان جریان برای نقاط موجود و مفقودشده، تعریف یک ماتریس جایگزین و با بهره‌گیری از مفهوم ضرب داخلی، یک دستگاه معادلات برای محاسبه ضرایب مودال نقاط مفقودشده حل و سپس میدان جریان بازسازی می‌شود.

در روش سوم فرض بر این است که یک دسته از نمایه‌های ناقص با بردار پوشانه متناسب موجود است. پایه‌ها (مودهای تجزیه متعدد بهینه) با استفاده از یک روش تکراری بازسازی شده و درنهایت با داده‌های موجود، میدان جریان بازسازی خواهد شد.

روش‌هایی که در این پژوهش مورد استفاده قرار گرفته، شامل دو نوع می‌باشد. در روش اول از الگوریتم کمترین مریعات به منظور حل مسئله کمینه‌سازی با مودهای تجزیه متعدد بهینه استفاده شده و با بهره‌گیری از یک روش تکراری نمایه‌های ناقص بازسازی می‌شوند. روش دوم از لحاظ ساختار اولیه مشابه با روش اول بوده لیکن از یک روند بازسازی پیشرو با زمان و کامل‌تر کردن دسته نمایه اولیه به منظور بازسازی پایه‌های ناقص بهره می‌گیرد.

### ۳-۱- روشن POD-Gappy برای بازسازی داده‌های مفقودشده

روند اصلی یک حل با استفاده از روش تجزیه متعدد بهینه در بخش‌های پیش توضیح داده شد. بدین صورت که تغییرات میدان جریان در قالب یک سری از حل میدان در زمان‌های متفاوت دسته‌بندی می‌شود. این روند همچنین می‌تواند برای پارامترهای جریان که تصاویر لحظه‌ای برحسب آنها ایجاد شده، مورد استفاده قرار گیرد. پارامتر مورد نظر  $\theta$  فرض می‌شود که می‌تواند گام زمانی، زاویه حمله یا عدد ماخ جریان آزاد باشد. یک راه حل سریع برای بازسازی داده‌های مفقودشده میدان جریان به ازای هر مقدار  $\theta$  بدین صورت است که یک دسته از حل میدان جریان به ازای مقادیر مختلف  $\theta$  در نظر گرفته می‌شود. حل مسئله مقدار ویژه برای این دسته انجام گرفته تا مقادیر مودهای جریان به دست آیند. سپس یک بردار پوشانه تعریف شده، که می‌تواند نقاطی از میدان را مفقود یا نقاطی که از آنها اطلاعاتی موجود نیست، را مشخص کند. این بردار به صورت زیر می‌باشد:

$$m_j^k = \begin{cases} 0 & \text{if } u_j^k \text{ is missed or incorrect} \\ 1 & \text{if } u_j^k \text{ is known} \end{cases} \quad (16)$$

با بهره‌گیری بردار پوشانه و مبتنی بر مفهوم ضرب نقطه‌ای، نقاط مفقودشده مشخص می‌شوند. ضرب نقطه‌ای توسط رابطه زیر تعریف می‌شود:

1 Mask Vector

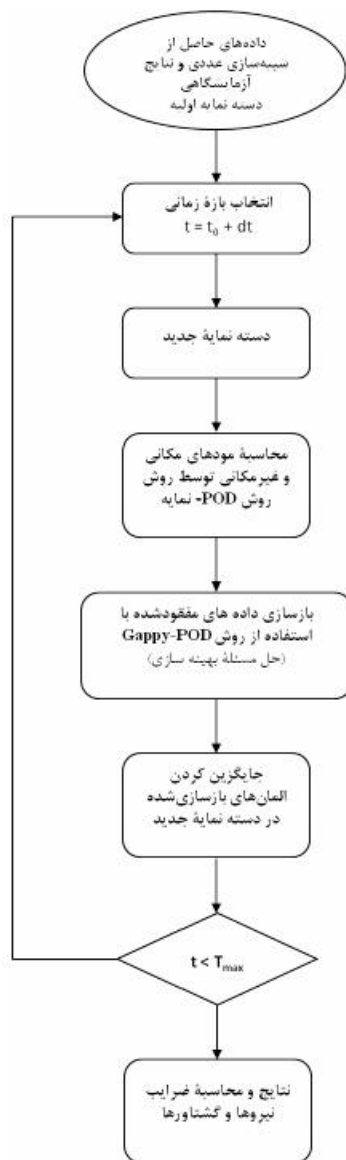


Fig. 1. Flowchart of Iterative Method with Time Advancement Strategy

شكل ۱: فلوچارت روش تکراری با پیشروع زمانی

است که با روش تشریح شده می‌توان به یک الگوی رتبه‌کاسته دست یافت. بدین منظور و برای محاسبه تعداد مودهایی که درصد بالاتری از انرژی را دارند، عددی به نام عدد سهم<sup>۱</sup> به صورت زیر تعریف می‌شود:

$$\kappa_i = \frac{\sum_{i=1}^{N_r} \lambda_i}{\sum_{i=1}^{N_{total}} \lambda_i} \quad (19)$$

در رابطه فوق  $\lambda$  مقادیر ویژه ماتریس داده‌ها می‌باشد. معیاری که در این پژوهش در نظر گرفته شده بدین صورت است که هرگاه مقدار  $\kappa$  برابر با ۹۹/۹٪ شد، مقدار  $N_r$  تعداد مودهایی مورد نیاز برای ایجاد الگوی رتبه‌کاسته را نشان می‌دهد.

و با چیدمان‌های جدید ایجاد می‌شوند. بدین صورت ماتریس نمایه‌های اصلی شامل بلوك‌های جدید خواهد شد که در آنها تعداد آرایه‌های مفقودشده کمتر خواهد بود. اگر ماتریس نمایه اصلی مطابق رابطه (۱۵) در نظر گرفته شود، ماتریس جدید به منظور بازسازی گام به گام آرایه‌های از دست رفته به صورت زیر خواهد بود:

$$\tilde{\mathbf{u}} = \left\{ \begin{bmatrix} u_1 & u_2 & u_3 & u_4 \\ \hline \end{bmatrix} \dots \right\} \quad (16)$$

سپس نمایه مخدوش شده یا مفقودشده توسط فرآیند تشریح شده در بخش‌های پیشین بازسازی شده و به عنوان یک عضو کامل در هر موقعیت زمانی به دسته نمایه اولیه اضافه می‌شود. بدین ترتیب یک دسته جدید از نمایه‌ها با درصد بالاتری از داده‌ها معلوم را تولید می‌کند:

$$\tilde{\tilde{\mathbf{u}}} = \{ u_1 \ u_2 \ u_3 \ u_4 \dots \} \quad (17)$$

برای بازسازی عضو مفقودشده بعدی ماتریس نمایه جدید به صورت زیر ایجاد می‌شود:

$$\mathbf{u} = \left\{ \begin{bmatrix} u_1 & u_2 & u_3 & u_4 \\ \hline \end{bmatrix} \dots \right\} \quad (18)$$

با این روند دقّت تخمین نمایه‌های بعدی بالاتر رفته و میدان‌هایی با درصد بالاتری از داده‌های نامعلوم با این روند قابل بازسازی می‌باشند. از طرفی در فرآیند حل تکراری به دلیل وجود تعداد معلومات بیشتر نیاز به تکرار کمتری می‌باشد. این ویژگی برای بازسازی میدان‌های جریان ناپایا که حجم داده‌های بالایی دارند، بسیار مفید می‌باشد. در شکل ۱، فلوچارت روش تکراری با پیشروع زمانی، نمایش داده شده است. همانطور که در این شکل مشخص است، مدل شامل دو فرآیند تکراری و حرکت گام به گام در زمان است. نکته بازی دیگر در خصوص روش این است که با وجود استفاده از یک الگوی رتبه‌کاسته و سعی بر کاهش درجهات آزادی سیستم به منظور افزایش سرعت، با حرکت در راستای زمان، فرآیند محاسبات به زمان بیشتری در مقایسه با گام‌های ابتدایی نیاز دارد.

#### ۴- انتخاب تعداد مودهای جهت بازسازی میدان با الگوی رتبه‌کاسته

روشن است در یک فرآیند حل مودال با افزایش تعداد مودهای مدل حاصل از دقّت بالاتری در مقایسه با حل عددی برخوردار خواهد بود. اگر مودهای سیستم بر اساس اختلاف سطح انرژی چیدمان شوند، این نکته بدوضوح مشاهده خواهد شد که می‌توان با تعداد کمتری از مودهای بالایی از انرژی موجود در میدان را تسخیر کرد (شکل ۲). این بدین معنی

شکل ۶ خطوط همتراز مولفه افقی سرعت، مولفه عمودی سرعت و فشار را در زمان  $t = 4/45$  نشان می‌دهد. در این شکل‌ها خطوط همتراز داده‌های اصلی، میدان با ۵۰ درصد داده‌های مخدوش شده، داده‌های بازسازی شده با روش تکراری استاندارد نشان داده شده است. شکل ۷ توزیع سرعت عمودی در راستای خط  $x$  ثابت واقع در ناحیه دنباله و در  $t = 4/45$  را برای میدانی با ۵۰٪ داده‌های مفقودشده نشان می‌دهد که داده‌های نامعلوم با بهره‌گیری از روش تکراری بازیابی شده‌اند. در شکل ۸ مقایسه‌ای بین نتایج حاصل از الگوی پیشنهادی در این پژوهش، روش بازسازی تکراری ساده و داده‌های عددی مستقیم برای میدان فشار در  $t = 4/45$  را برای میدانی با ۵۰٪ داده‌های مفقودشده نشان می‌دهد که داده‌های نامعلوم با بهره‌گیری از روش تکراری بازیابی شده‌اند. همانطور که در شکل متنخض است در این شرایط روش معمولی توانایی بازسازی داده‌های مفقودشده را داشته و بهوضوح دقیق داده‌های بازیابی شده با این روش آشکار می‌باشد.

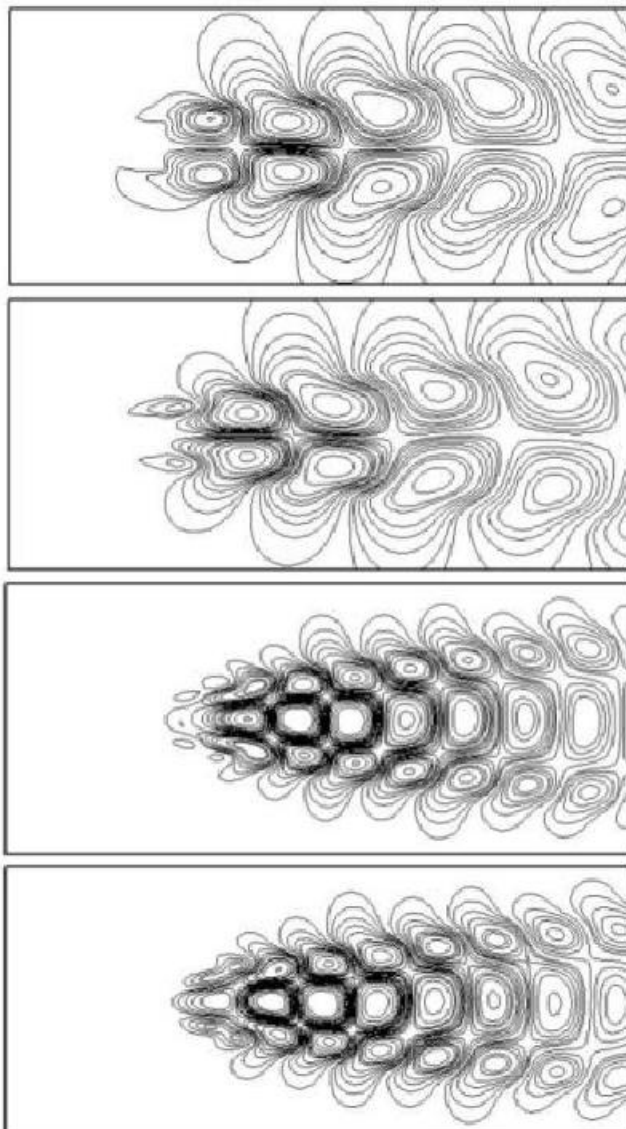


Fig. 3. Contours of Four Strongest Modes of Streamwise Velocity Component

شکل ۳: خطوط همتراز چهار مود پرانرژی‌تر مولفه افقی سرعت

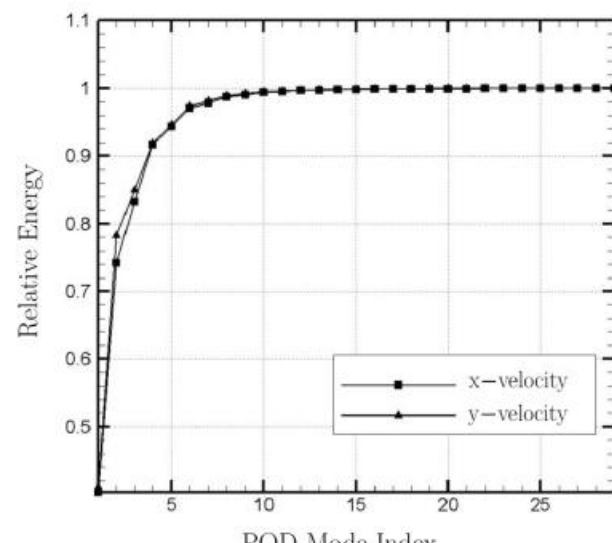


Fig. 2. Relative Energy of Streamwise Velocity Modes Component

شکل ۲: انرژی نسبی مودهای مولفه‌های میدان سرعت

##### ۵- نتایج

در این قسمت به بررسی و ارائه نتایج حاصل پرداخته می‌شود. نتایج برای جریان تراکم‌ناپذیر ناپایای لزج حول سیلندر مربع شکل ارائه خواهد شد. در شبیه‌سازی‌های ارائه شده و برای ایجاد دسته نمایه‌ها از یک کد حل جریان ناپایای لزج بر روی یک شبکه باسازمان که بر مبنای روش حجم محدود توسعه یافته، استفاده شده است [۱۰].

مساله مورد بحث در این پژوهش، جریان ناپایای لزج حول سیلندر مربع شکل در عدد رینولدز ۱۰۰ می‌باشد. یک دسته ۳۸ تاتی از حل میدان جریان در زمان‌های مختلف به عنوان ورودی در نظر گرفته شده است. پس از محاسبه مقادیر متوسط پارامترهای موردنظر، این مقادیر از دسته نمایه‌ها کسر شده تا مقادیر اختشاشی متغیرها محاسبه شوند. حال مودهای تجزیه معتمد بهینه با استفاده از این دسته نمایه‌های اختشاشی محاسبه می‌شوند. در شکل‌های ۳، ۴ و ۵ به ترتیب چهارمود اول مولفه افقی سرعت، مولفه عمودی سرعت و فشار که نسبت به بقیه مودها پرانرژی‌تر هستند، نشان داده شده است. ویژگی مودهای تجزیه معتمد بهینه که از فرآیند معتمادسازی تکراری گرام-اشمیت<sup>۱</sup> حاصل می‌شوند، این است که این توابع همچون مودهای فوريه بوده یعنی علاوه بر تعادل داری یک نوع تقارن<sup>۲</sup> نیز می‌باشند. همانطور که شکل‌های ۳، ۴ و ۵ دیده می‌شود، یک جفت شدگی<sup>۳</sup> بین مودها وجود دارد که ناشی از تقارن آنها می‌باشد. با داشتن اطلاعات میدان جریان شامل مودها و ضرایب مودال می‌توان از الگوی تشریح شده جهت تحلیل مساله و محاسبه مقادیر موردنظر استفاده کرد. مساله اول، میدان جریان ناپایای حول سیلندر مربع شکل شامل ۵۰ درصد نقاط با داده‌های از دست‌رفته می‌باشد. حال با استفاده از روش ارائه شده در بخش ۱-۳ پایه‌های موردنظر بازسازی می‌شوند.

1 Gram-Schmidt Orthogonalization Method

2 Symmetry

3 Duality

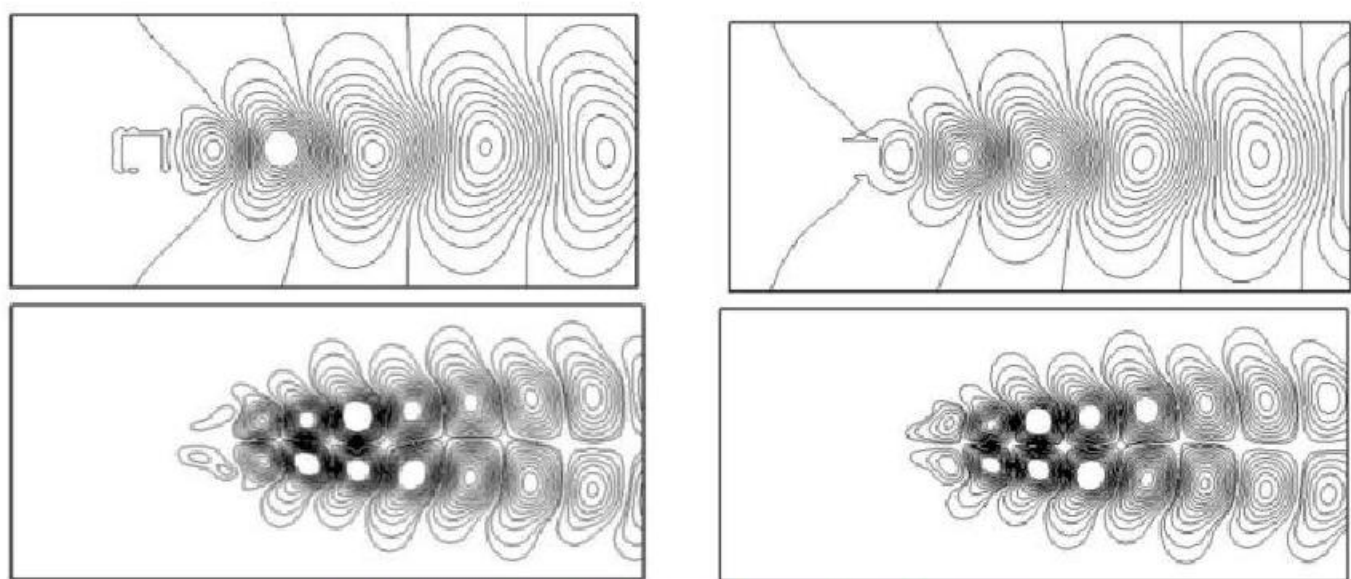


Fig. 4. Contours of Four Strongest Modes of Transverse Velocity Component

شکل ۴: خطوط همتراز چهار مود پرانتزی تر مولفه عمودی سرعت

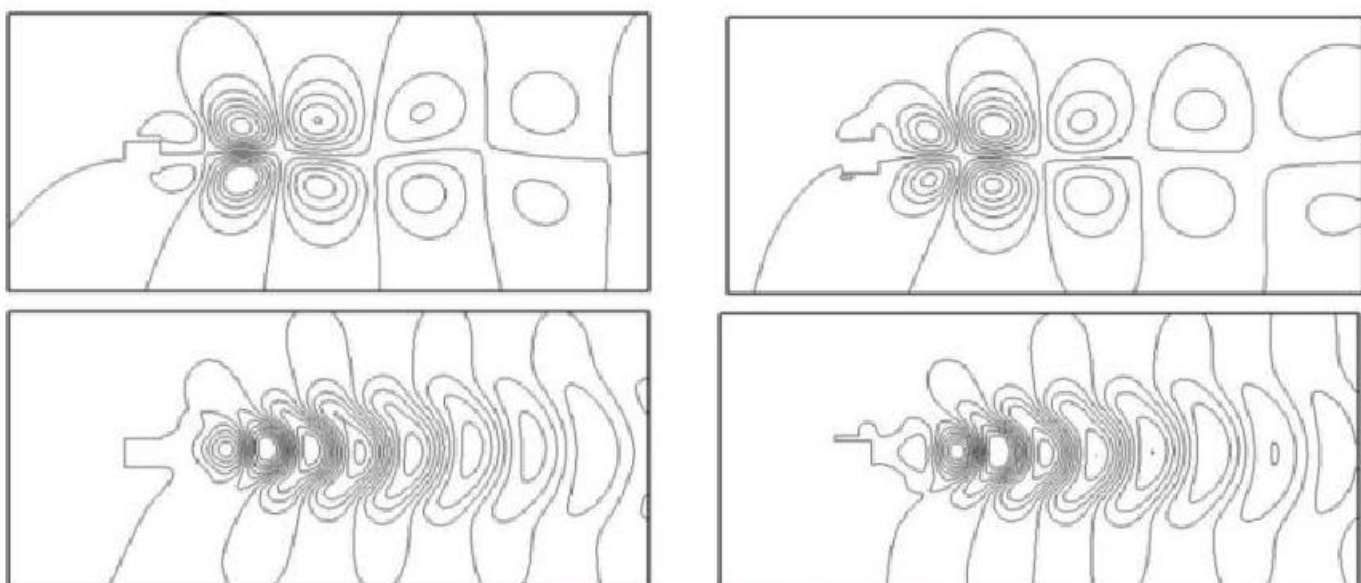


Fig. 5. Contours of Four Strongest Modes of Pressure

شکل ۵: خطوط همتراز چهار مود پرانتزی تر فشار

شده و مقایسه‌ای بین نتایج حاصل از حل عددی مستقیم، الگوی تکراری ساده و مدل تکراری با تجزیه زمانی در شکل ۱۱ آورده شده است. در این دو شکل نیز نتایج حاصل از الگوی پیشنهادی، دقت مناسبی را در بازسازی و بازیابی داده‌های از دسترفته نشان می‌دهد.

در شکل ۹ خطوط همتراز مولفه افقی سرعت برای داده‌های اصلی (حاصل از حل عددی مستقیم)، میدان با  $90\%$  داده‌های مفقودشده، داده‌های بازسازی شده با روش تکراری استاندارد و داده‌های بازسازی شده با روش تکراری همراه با پیشروی زمانی در زمان  $t = 4/38$  نمایش داده شده است. همانطور که در شکل نیز مشخص است نتایج حاصل از روش پیشنهادشده در این پژوهش از دقت مناسبی در مقایسه با داده‌های میدان اصلی برخوردار می‌باشد در حالی که روش معمولی نتایج دقیقی را ارائه نکرده است. خطوط همتراز مولفه عمودی سرعت برای همین گام زمانی در شکل ۱۰ نشان داده

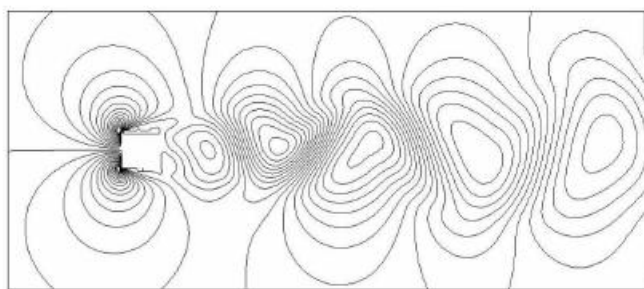


Fig. 7. Transverse velocity contour for missing data with 50 % (top), original snapshot (middle), and reconstructed using simple iterative method (bottom) at time = 4.45

شکل ۷: خطوط همتراز مولفه عمودی سرعت، نمایه ناقص با ۵۰٪ داده‌های مفقودشده (ردیف اول)، نمایه اصلی (ردیف دوم)، و نمایه بازسازی شده توسط روش تکراری ساده (ردیف سوم) در  $t=4/45$ .

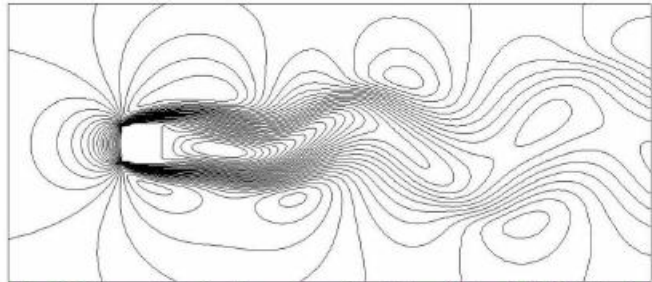
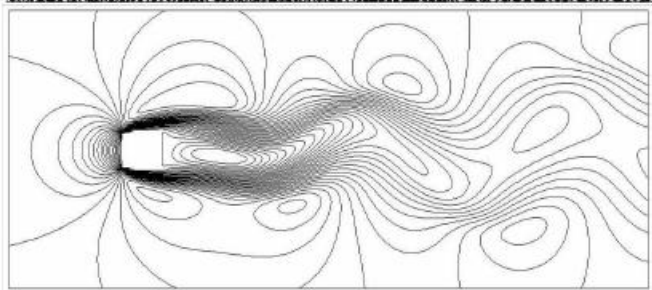
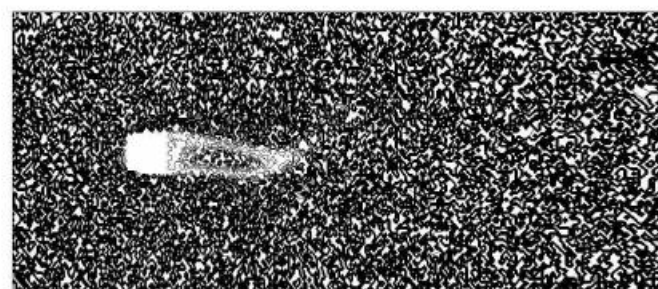


Fig. 6. Streamwise velocity contour for missing data with 50 % (top), original snapshot (middle), and reconstructed using simple iterative method (bottom) at time = 4.45

شکل ۶: خطوط همتراز مولفه افقی سرعت، نمایه ناقص با ۵۰٪ داده‌های مفقودشده (ردیف اول)، نمایه اصلی (ردیف دوم)، و نمایه بازسازی شده توسط روش تکراری ساده (ردیف سوم) در  $t=4/45$ .

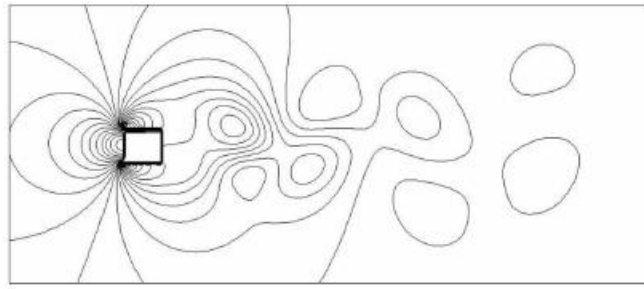
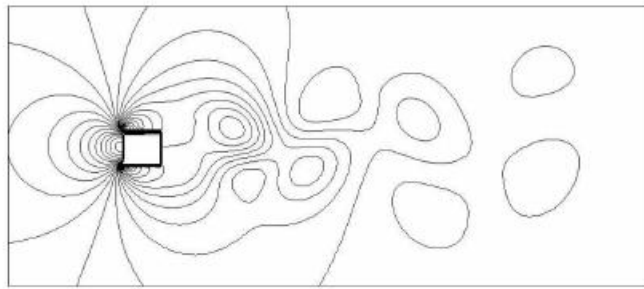
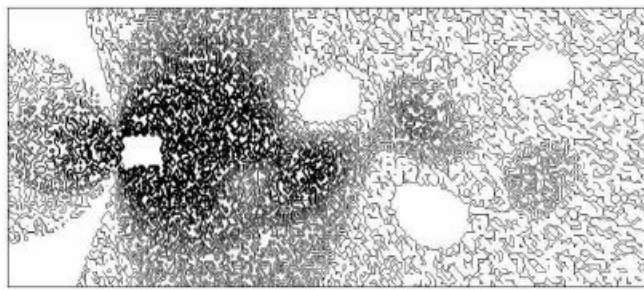
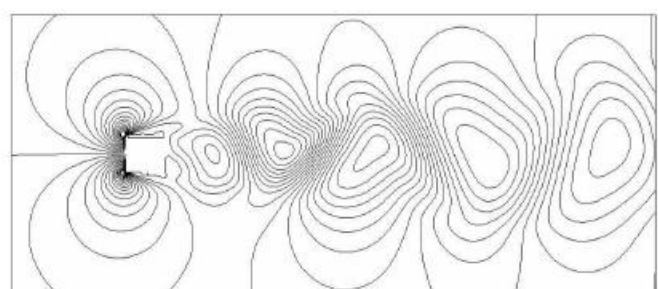
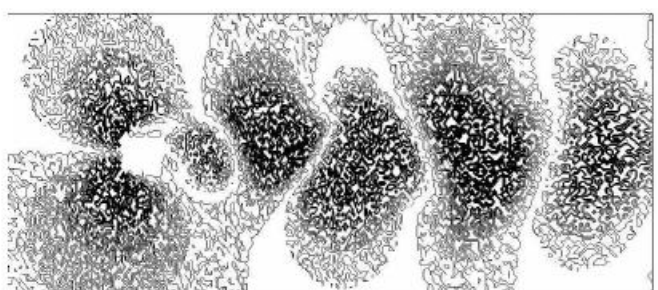


Fig. 8. Pressure contour for missing data with 50 % (top), original snapshot (middle), and reconstructed using simple iterative method (bottom) at time = 4.45

شکل ۸: خطوط همتراز فشار، نمایه ناقص با ۵۰٪ داده‌های مفقودشده (ردیف اول)، نمایه اصلی (ردیف دوم)، و نمایه بازسازی شده توسط روش تکراری ساده (ردیف سوم) در  $t=4/45$ .



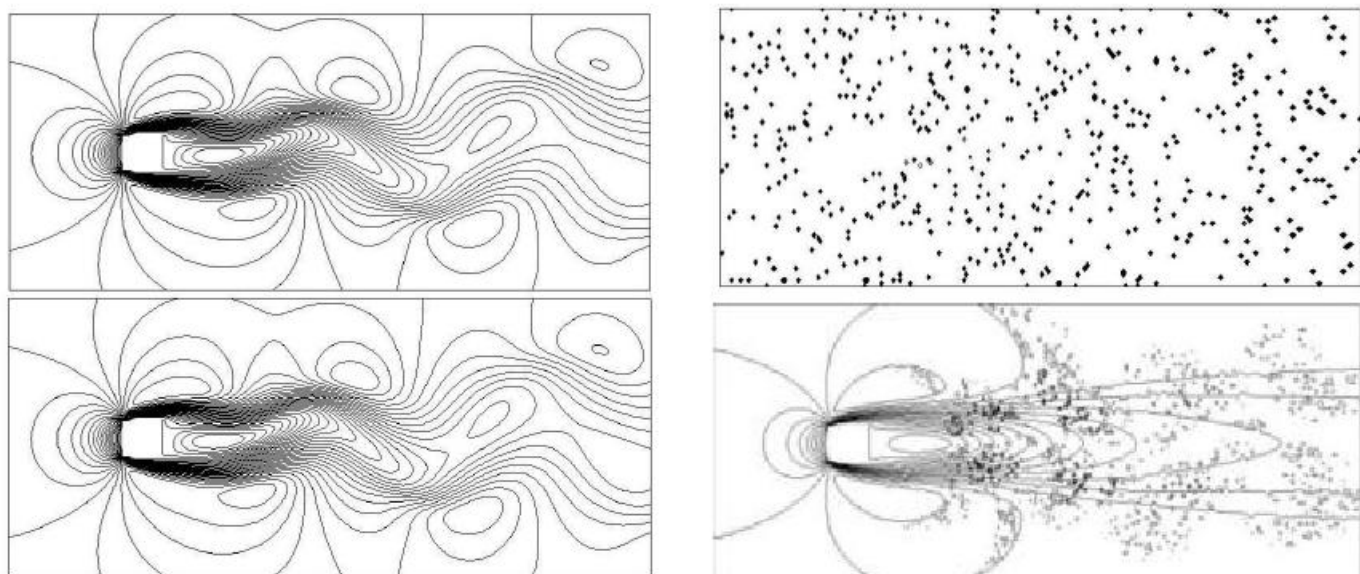


Fig. 9. Streamwise velocity contour for missing data with 90 % (top), original snap shot (second row), and reconstructed using simple iterative method (third row) and reconstructed using time advancing iterative method (bottom) at time = 4.38.

شکل ۹: خطوط همتراز مولفه افقی سرعت، نمایه ناقص با ۹۰٪ داده‌های مفقودشده (ردیف اول)، نمایه اصلی (ردیف دوم)، نمایه بازسازی شده توسط روش تکراری ساده (ردیف سوم) و نمایه بازسازی شده توسط روش تکراری با پیشروی زمانی (ردیف چهارم) در  $t=4/38$ .

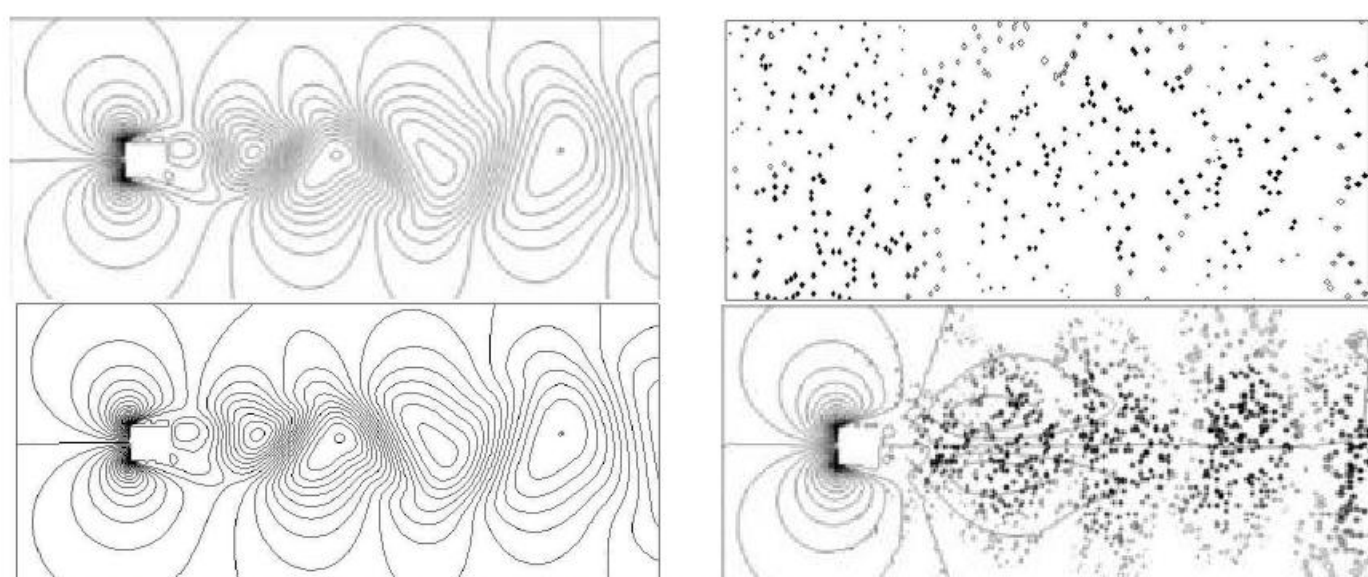
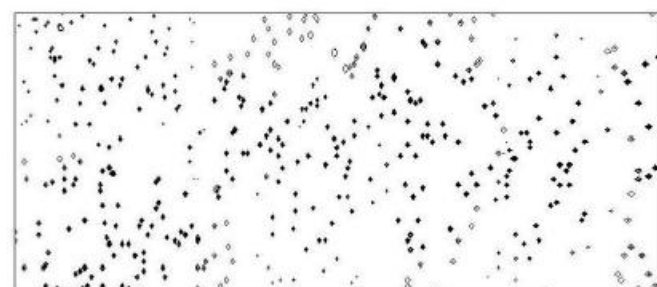
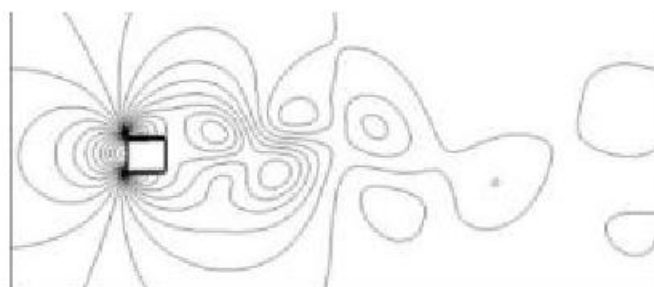


Fig. 10. Transverse velocity contour for missing data with 90 % (top), original snap shot (second row), and reconstructed using simple iterative method (third row) and reconstructed using time advancing iterative method (bottom) at time = 4.38

شکل ۱۰: خطوط همتراز مولفه عمودی سرعت، نمایه ناقص با ۹۰٪ داده‌های مفقودشده (ردیف اول)، نمایه اصلی (ردیف دوم)، نمایه بازسازی شده توسط روش تکراری ساده (ردیف سوم) و نمایه بازسازی شده توسط روش تکراری با پیشروی زمانی (ردیف چهارم) در  $t=4/38$ .



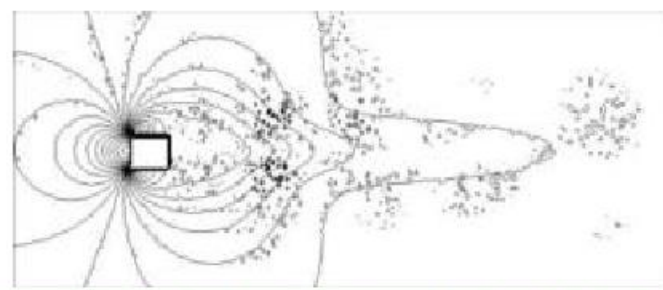
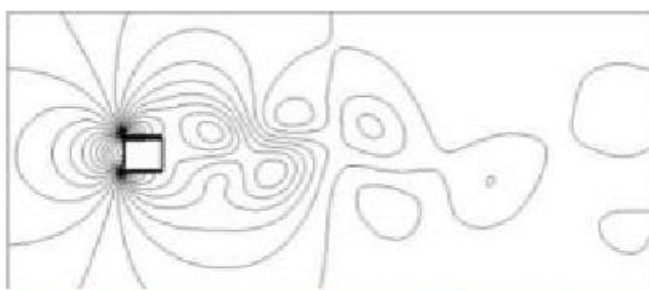
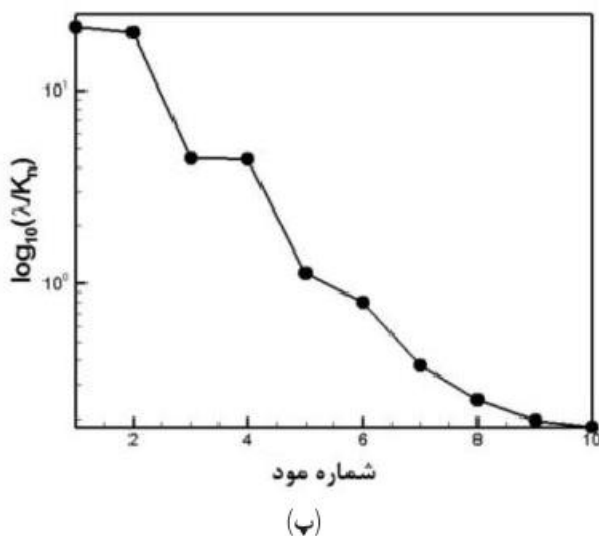


Fig. 11. Pressure contour for missing data with 90 % (top), original snap shot (second row), and reconstructed using simple iterative method (third row) and reconstructed using time advancing iterative method (bottom) at time = 4.38

شکل ۱۱: خطوط همتراز فشار، نمایه ناقص با ۹۰٪ داده‌های مفقودشده (ردیف اول)، نمایه اصلی (ردیف دوم)، نمایه بازسازی شده توسط روش تکراری ساده (ردیف سوم) و نمایه بازسازی شده توسط روش تکراری با پیشروی زمانی (ردیف چهارم) در  $t=4/38$ .



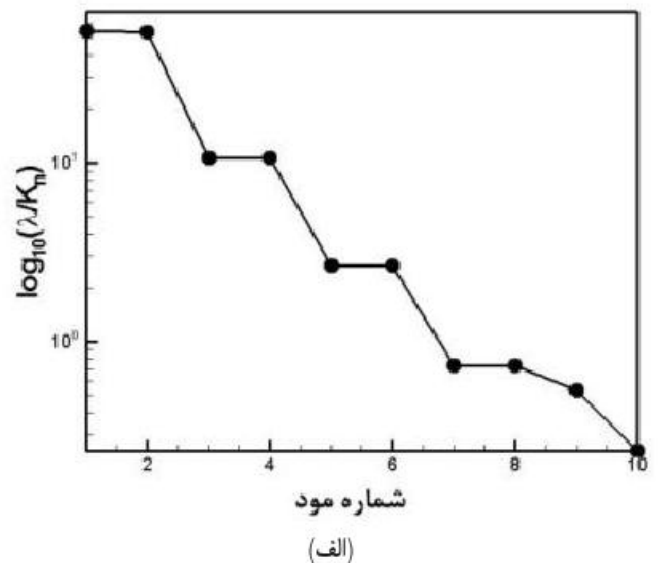
(ب)

Fig. 12. Comparison between eigenvalues of streamwise velocity (top), transverse velocity (middle), and pressure (bottom), Original CFD Ensemble (points) and reconstructed using time advancing iterative method (solid line)

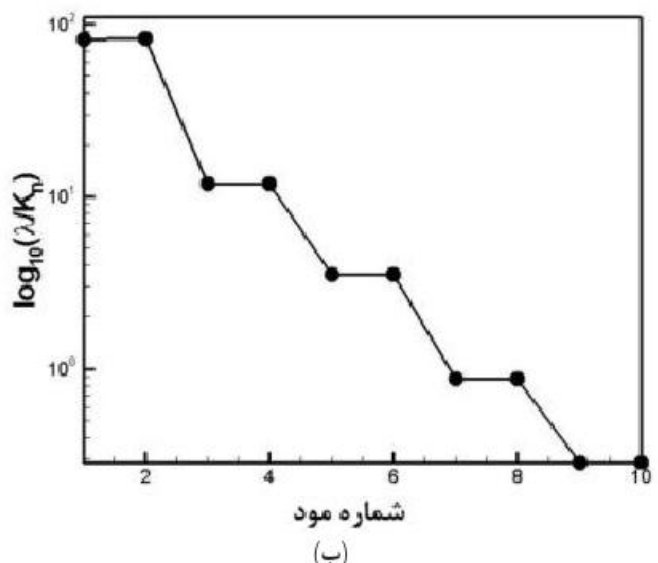
شکل ۱۲: مقایسه بین مقادیر ویژه تابعه‌های مولفه افقی سرعت (الف)، مولفه عمودی سرعت (ب) و فشار (ب)، نقاط، تصویرسازی نمایه‌های اصلی (CFD) و خطوط، بازسازی با روش تکراری با پیشروی زمانی

در شکل ۱۳ توزیع مولفه افقی سرعت در راستای خط  $x$  ثابت واقع در ناحیه دنباله و در موقعیت زمانی جدید  $t = 2/5$  برای دو حالت میدان با داده‌های مفقودشده و داده‌های بازسازی شده دیده می‌شود. مقایسه منحنی تغییرات مولفه عمودی سرعت در راستای عمودی و روی خط  $x$  ثابت در ناحیه دنباله به ازای  $t = 2/5$  در شکل ۱۴ آورده شده است. شکل ۱۵ نیز توزیع فشار در راستای عمود بر جهت جریان ورودی و به ازای مقدار  $x$ - ثابت را نمایش می‌دهد. نکته روش در این نتایج دقت بالای بازیابی داده‌ها به وسیله روش پیشنهادی بوده که از مقایسه نمودار توزیع متغیرهای میدان شامل داده‌های مفقودشده با میدان بازسازی شده و داده‌های اصلی به خوبی آشکار می‌شود. شکل ۱۶ توزیع زمانی ضریب برآ حاصل از حل عددی مستقیم در مقایسه با داده‌های میدان مخدوش شده و میدان بازسازی شده با بهره‌گیری از روش پیشروی زمانی ارائه شده است. واضح است که این روش به خوبی داده‌های میدان جریان را بازسازی کرده و دقت داده‌های حاصل در مقایسه با داده‌های اصلی بسیار بالا می‌باشد.

شکل ۱۲ مقایسه‌ای بین مقادیر ویژه حاصل از داده‌های اصلی و مقادیر حاصل از روش تکراری با پیشروی زمانی برای بازسازی نمایه‌های ناقص یک میدان جریان با ۹۰٪ داده‌های مفقودشده را نمایش می‌دهد. همانطور که مشخص است نتایج بدست آمده از دقت بالایی حتی در محدوده مودهای دارای میزان انرژی پائین‌تر نیز برخوردار می‌باشد.



(الف)



(ب)

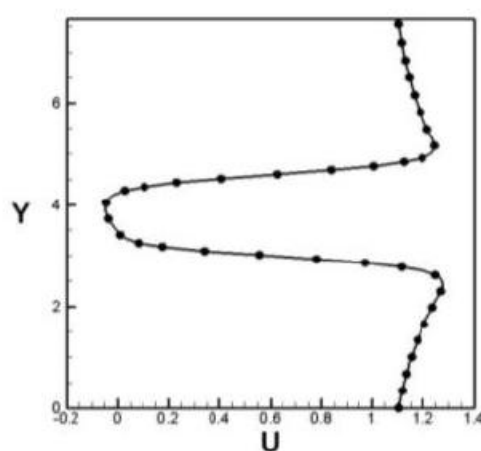
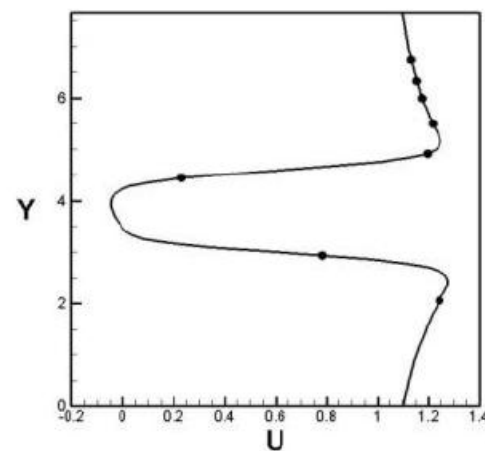


Fig. 13. Comparison of streamwise velocity at constant  $x$ -position at the wake region for 90% missed field (top) and reconstructed using time advancing iterative method (bottom) with original data at time = 2.5



شکل ۱۳: مقایسه بین توزیع مولفه سرعت افقی برای میدان با ۹۰٪ داده‌های مفقودشده با میدان اصلی (بالا) و میدان بازسازی شده با میدان اصلی (پایین) در راستای خط  $x$  ثابت واقع در تابعه دنباله در  $\tau = 2/5$ .

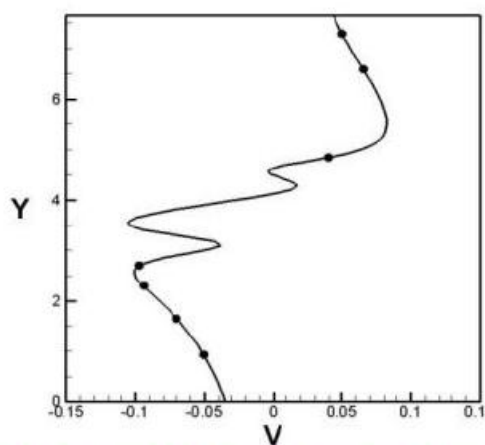
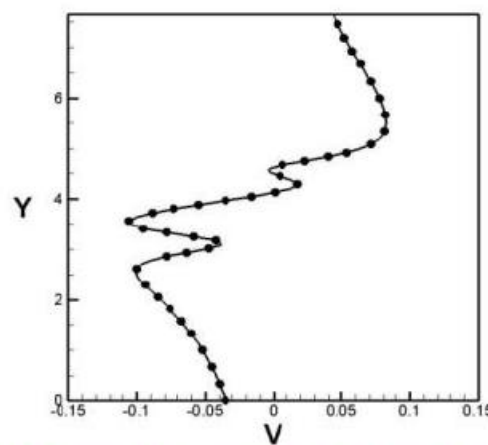


Fig. 14. Comparison of transverse velocity at constant  $x$ -position at the wake region for 90% missed field (top) and reconstructed using time advancing iterative method (bottom) with original data at time = 2.5

شکل ۱۴: مقایسه بین توزیع مولفه سرعت عمودی برای میدان با ۹۰٪ داده‌های مفقودشده با میدان اصلی (بالا) و میدان بازسازی شده با میدان اصلی (پایین) در راستای خط  $x$  ثابت واقع در تابعه دنباله در  $\tau = 2/5$ .

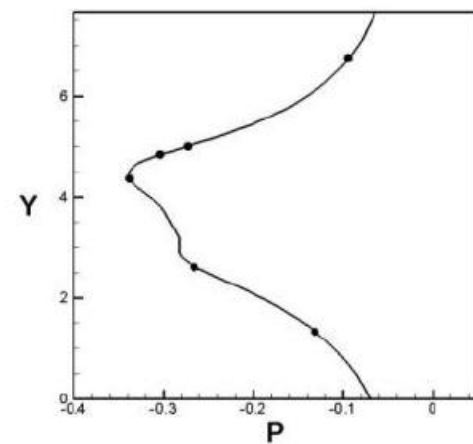
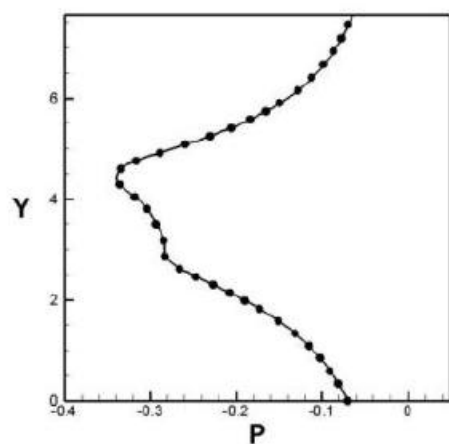


Fig. 15. Comparison of pressure at constant  $x$ -position at the wake region for 90% missed field (top) and reconstructed using time advancing iterative method (bottom) with original data at time = 2.5

شکل ۱۵: مقایسه بین توزیع فشار برای میدان با ۹۰٪ داده‌های مفقودشده با میدان اصلی (بالا) و میدان بازسازی شده با میدان اصلی (پایین) در راستای خط  $x$  ثابت واقع در تابعه دنباله در  $\tau = 2/5$ .

در شکل مشخص است مقادیر بازسازی شده برای ضریب پسا نیز از دقت مناسبی در مقایسه با داده های حاصل از شبیه سازی عددی مستقیم بخوردار است.

شکل ۱۷ نیز توزیع زمانی ضریب پسا را برای داده های حاصل از حل عددی مستقیم در قیاس با داده های میدان مخدوش شده و میدان بازسازی شده با بهره گیری از روش پیشنهادی نمایش می دهد. همانطور که

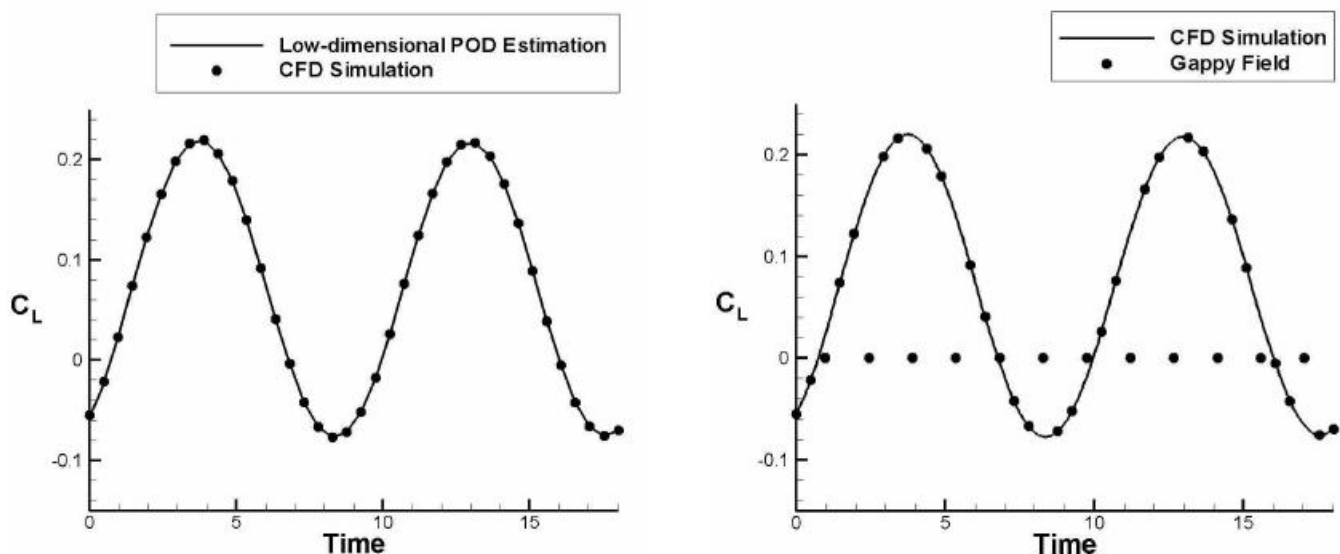


Fig. 16. Comparison of lift coefficient time history for missed data snapshots (top) and repaired data ensemble using time advancing iterative method (bottom)

شکل ۱۶: مقایسه تغییرات زمانی ضریب برآ برای دسته نمایه با داده های مفقود شده (بالا چپ) و دسته نمایه کامل شده با استفاده از روش تکراری با پیش روی زمانی (بالا راست).

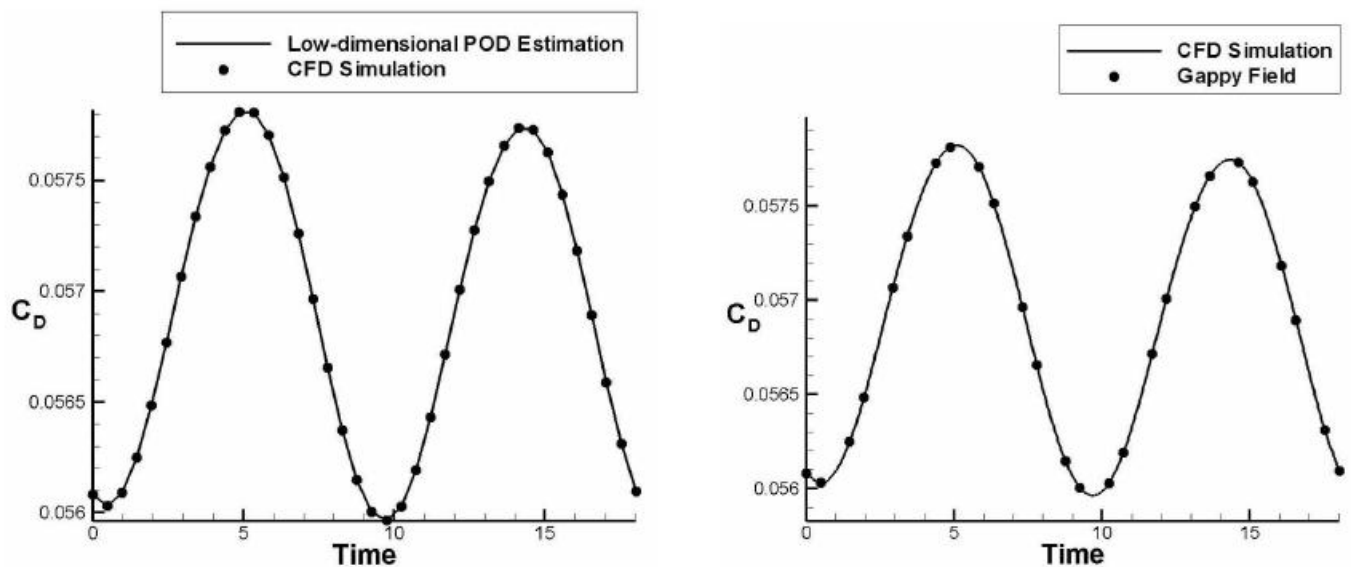


Fig. 17. Comparison of drag coefficient time history for missed data snapshots (top) and repaired data ensemble using time advancing iterative method (bottom)

شکل ۱۷: مقایسه تغییرات زمانی ضریب پسا برای دسته نمایه با داده های مفقود شده (بالا چپ) و دسته نمایه کامل شده با استفاده از روش تکراری با پیش روی زمانی (بالا راست).

دیفرانسیلی با مشتقهای جزئی است. در این الگوهای با استفاده از اطلاعات محاسبه شده در برخی نقاط (از جمله نقاط نزدیک مرزها)، تعداد معلومات برای محاسبه پارامتر مجهول در نقاط دیگر افزایش یافته، لذا سرعت همگرایی و دقت حل روش افزوده می شود (مانند روش گوس-سایدل صریح در حل

۶- نتیجه گیری  
در این پژوهش پیامون استفاده از روش تجزیه متعدد بهینه به منظور بازسازی میدان های جریان ناپایا با درصد بالای داده های مفقود شده بحث شد. مبنای توسعه مدل، شبیه به روش های تکراری برای حل معادلات

شمارنده مود  
شمارنده نمایه  
  
منابع

- [1] White, F., "Fluid Mechanics", 7th Edition, McGraw-Hill Publication, 2010.
- [2] Hoffman, K.A. and S. T. Chiang, "Computational Fluid Dynamics", Engineering Education System Publication, 1993.
- [3] Gunes a, H. , S. Sirisup, G. E. Karniadakis, "Gappy data: To Krig or not to Krig?", *Journal of Computational Physics*, 212 (2006): 358-382.
- [4] Holmes, P., J.L. Lumley and G. Berkooz, "Turbulence, Coherent Structures, Dynamical Systems and symmetry", Cambridge Monographs on Mechanics, Cambridge University Press, 1996.
- [5] Lumley, J.L., "The Structure of Inhomogeneous Turbulence, Atmospheric Turbulence and Wave Propagation", pp. 166-178, 1967.
- [6] Sirovich, L., "Turbulence and the Dynamics of Coherent Structures", Parts I-III, *Quarterly of Applied Math.*, XLV.3 (1987): 561-82.
- [7] Taeibi-Rahni, M., F. Sabetghadam and M.K. Moayyedi, "Low-dimensional Proper Orthogonal Decomposition Modeling as a Fast Approach of Aerodynamic Data Estimation", *Journal of Aerospace Engineering*, 23.1 (2010): 44-54.
- [8] Bui-Thanh, T., M. Damodaran and K. Wilcox, "Aerodynamic Data Reconstruction and Inverse Design Using Proper Orthogonal Decomposition", *AIAA J.*, 42.8 (2004): 1505-1516.
- [9] Wilcox, K., "Unsteady Flow Sensing and Estimation via the Gappy Proper Orthogonal Decomposition", *Computer and Fluids*, 35 (2006): 208-226.
- [10] Sabetghadam, F., M. Taeibi-Rahni and M. K. Moayyedi, "Gappy Low-dimensional POD, A Powerful Tool of Data Reconstruction of the Unsteady Flow Fields", *CFD Journal*, 17.3 (2008): 156-164.

معادلات بیضوی). با توجه به نتایج حاصل می‌توان گفت که روش پیشنهاد شده در این پژوهش قابلیت و توانایی مناسبی در بازیابی داده‌های میدان با درصد بالای نقاط نامعلوم را دارد. دلیل این موضوع، تقویت دسته‌نمایه اولیه، شامل داده‌های مفقودشده، در هر گام زمانی و بازسازی داده‌های نامعلوم به صورت پیشروی در زمان می‌باشد. بدین معنی که اطلاعات بهروزشده در فرآیند محاسبه نقاط مجھول در راستاهای مکانی و زمانی استفاده می‌شود. از طرفی بدلیل اینکه استفاده از مودهای پرانرژی تر برای بازسازی میدان جریان و دستیابی به یک مدل رتبه کاسته، روش از سرعت بالای محاسباتی نیز برخوردار می‌باشد. نکته قابل توجه دیگر اینکه این روش قابلیت تعیین به میدان‌های جریان با تغییرات پارامترهای دیگر (غیر از زمان) را نیز دارد. در انتها می‌توان گفت با توجه به مدل ارائه شده، از این روش می‌توان به سادگی برای کاربردهای دیگری از جمله بازسازی تصاویر، داده‌های نقاط ناقص تست‌های آزمایشگاهی و داده برداری‌های مربوط به هواشناسی و مطالعات اقیانوس‌شناسی نیز استفاده کرد.

### فهرست علامت

علائم یونانی	$a$
زمان	$t$
بردار سرعت	$u$
بردار موقعیت	$x$
ماتریس بردارهای ویژه	$\beta$
مقادیر ویژه	$\lambda$
مود	$\varphi$
عدد سهم	$K$
ماتریس مقادیر ویژه	$A$
زیرنویس‌ها	
شمارنده مود	$i$
شمارنده نقاط میدان	$j$
شمارنده نمایه	$k$
بالاترین‌ها	
شمارنده مود	$i$

برای ارجاع به این مقاله از عبارت زیر استفاده کنید:

Please cite this article using:

M. K. Moayyedi, "Reconstruction of Gappy Unsteady Flow Fields Using Improved Reduced Order POD Model Based on Temporal Decomposition Procedure" *Amirkabir J. Mech. Eng.*, 49(1) (2017) 101-112.  
DOI: 10.22060/mej.2016.720

